



เอกสารอ้างอิง

1. Chang, C.D., Kuo, J.C.W., Lang, W.H., Jacob, S.M., and Silvestri, J.A., "Process Studies on the Conversion of Methanol to Gasoline," Ind. Eng. Chem. Process Des. Dev., 17, 225-260, 1978.
2. Eric G. Derouane, and et.al., "Elucidation of the Mechanism of conversion of Methanol and Ethanol to Hydrocarbon on a New type of Synthetic Zeolite," J. Catal., 53, 40-45, 1978.
3. Grigore, P., Musca, G., Maria, G., Straja, S., and Mihail, R., "Selective Methanol Conversion to BTX," Ind. Eng. Chem. Prod. Rev. Dev., 25, 208-213, 1986.
4. รองชัย เมธาวิน, "การเปลี่ยนเมทานอลให้เป็นก๊าซไฮเดรนด์ด้วยเร่งปฏิกิริยาวนานาโดยชิล เคท" วิทยานิพนธ์ปริญญามหาบัณฑิต ภาควิชาเคมี คณะเคมี จุฬาลงกรณ์มหาวิทยาลัย จุฬาลงกรณ์มหาวิทยาลัย, 2527.
5. Inui, T., "Hydrocarbon Synthesis from Syngas on Composite Catalysts of Metal Oxides and Shape-selective Zeolite," Catalyst Engineering and Natural Gas Utilization, P. 279-292, Chulalongkorn University, 1985.
6. Inui, T., et.al., "Olefin Synthesis from Methanol on a Modified Zeolite Catalyst," Ind. Eng. Chem. Prod. Res. Dev., 22, 26-30, 1983.
7. ปิยะสาร ประเสริฐธรรม, ศาสตราจารย์ ที. อินุยอิ, รองชัย เมธาวิน, "คุณลักษณะของตัวเร่งปฏิกิริยาวนานาโดยชิล เคทที่ใช้เตรียมน้ำมันเบนซิน สังเคราะห์จากเมทานอล", วิศวกรรมสาร, 38 (2), 129-133, 2528.

8. Chang, C.D., and Silvestri, A.J., J. Catal., 47, 249, 1977.
9. Chang, C.D., Lang, W.H., and Smith, R.L., J. Catal., 56, 169, 1979.
10. Chen, N.Y., and Reagan, W.J., J. Catal., 53, 40, 1978.
11. Chang, C.D., "A kinetic model for methanol conversion to Hydrocarbon," Chem. Eng. Sci., 35, 619-622, 1980.
12. Salvador, P., Vladnig, W., J. Chem. Soc. Faraday Trans. 1, 73, 1153, 1977.
13. Chen, N.Y., Reagan, W.J., "Evidence of Autocatalysis in Methanol Hydrocarbon Reactions Over Zeolite Catalysts," J. Catal., 59, 123-129, 1979.
14. Espinoza, R.L., "Oligomerization VS. Methylation of Propene in the Conversion of Dimethyl Ether (or Methanol) to Hydrocarbons," Ind. Chem. Eng. Prod. Res. Dev., 23, 449-452, 1984.
15. Mihall, R., "Kinetic Model for Methanol Conversion to Olefins," Ind. Chem. Process Des. Dev., 22, 532-538, 1983.
16. Frey, H.M., Voisey, M.A., Trans. Faraday Soc., 64, 954, 1968.
17. Givens, E.N., Pitman, C.J., Plank, W., Rosinski, E.J., TOWN, P., U.S. Pat 4,079,095, 1978.
18. Anderson, J.R., Foger, K., Mole, T., Rajadhyaksha, R.A., and Sanders, J.R., "Reaction on ZEM-5 Type Zeolite Catalysts," J. Catal., 58, 114-130, 1979.
19. ผ.ศ. สมจิต วัฒนาชัยากุล, สถาบัตกรรมเคมี, หน้า 83-116 สำนักพิมพ์ ประการายพรีก, กรุงเทพมหานคร, 2525.

20. Spiegel, M.R., Theory and Problems of Statistics, Schaum outline series, P.P. 241-268, Schanum Publishing Co., New York, 1961.
21. James, W.F., "Testing the catalyst," Chem.Eng., 93 (19), 71-77, 1986.

ภาคผนวก ก

1ก คุณสมบัติของดัวเร่งปฏิกิริยาวนาໂಡชิล เคดที่มีค่า Si/V เท่ากับ 90 ที่ใช้ในการทดลอง

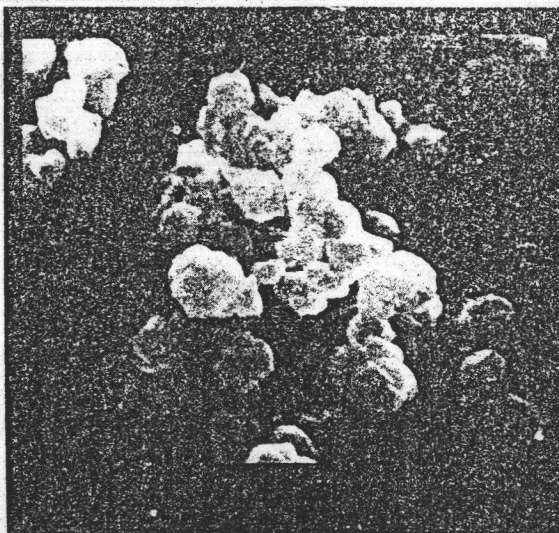
1.1 ก พื้นที่ผิวทั้งหมด (BET) มีค่าเท่ากับ 362 ตารางเมตร/กรัม

1.2 ก อัตราส่วนของ Si/V ที่แท้จริงเท่ากับ 198

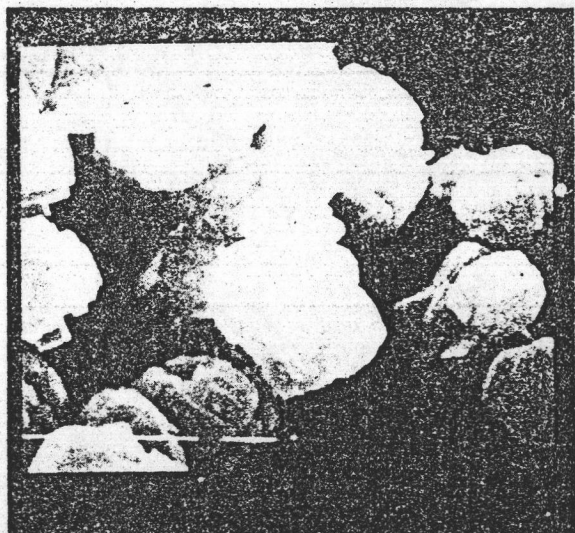
1.3 ก การตรวจสอบลึกของดัวเร่งปฏิกิริยา

ในรูป 1ก แสดงผลการถ่ายจาก Scanning Electron Microscope นักจากนี้

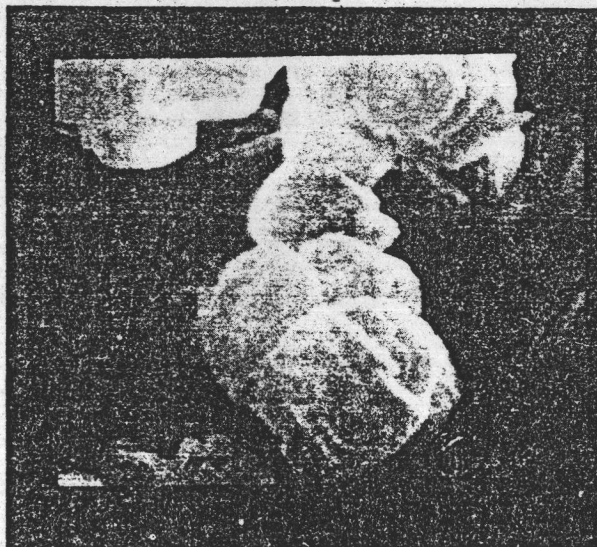
ยังทำการตรวจโดยเครื่อง X-ray diffraction ดังรูปที่ 2ก



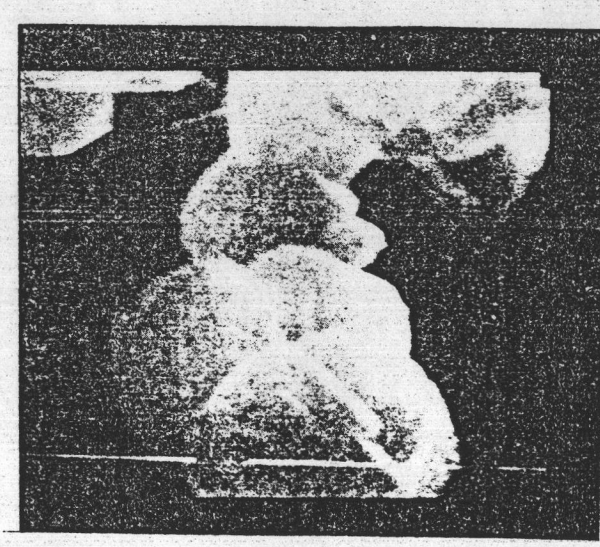
x 5,000



x 10,000

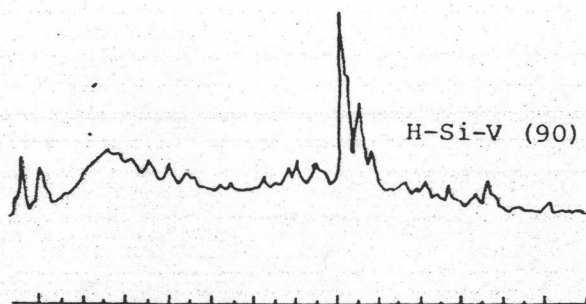


x 15,000



x 20,000

รูปที่ 1ก แสดงดัวเร่งปฏิกิริยาวนาໂດชิล เคด ($Si/V = 90$) ที่ใช้ในการทดลองจาก



รูปที่ 2ก

Pattern ของตัวเร่งปฏิกิริยาวนาไดซิลิเคต ($\text{Si}/\text{V} = 90$)

ที่ใช้ในการทดลองจาก XRD (7)

2ก การคำนวณหาอัตราการไหลของก๊าซเข้าที่ความเร็ว เชิงสเปชที่ต้องการ

ขั้นตอนการคำนวณสามารถเขียนสรุปได้ดังด้านไปนี้

- วัดความสูงของชั้นตัวเร่งปฏิกิริยา (h) เพื่อคำนวณหาปริมาตรของตัวเร่งปฏิกิริยา

(V) ดังสมการ

$$V = \frac{\pi}{4} \left(\frac{d_r}{2}\right)^2 h$$

โดย d_r = เส้นผ่านศูนย์กลางภายในของเครื่องปฏิกรณ์ = 0.6 เซนติเมตร

- คำนวณหาอัตราการไหลที่อุณหภูมิและความดันมาตรฐาน (STP) และที่ความเร็ว เชิงสเปช (SV) ที่ต้องการ

$$\text{อัตราการไหลที่ STP} = A_1 = SV \times V \text{ ลูกบาศก์เซนติเมตร/ชั่วโมง}$$

- คำนวณหาอัตราการไหลที่อุณหภูมิที่ทำการทดลองโดยสมมุติก้าสที่เข้าเป็นก๊าซอุดมคติ (Ideal gas) ดังนี้

$$\frac{P_1 V_1}{T_1} = \frac{P_2 V_2}{T_2}$$

โดย V_1, V_2 = ปริมาตรของก๊าสที่สภาพที่ 1, 2 (ลูกบาศก์เซนติเมตร)

P_1, P_2 = ความดันของก๊าสที่สภาพที่ 1, 2 (บรรยากาศ)

T_1, T_2 = อุณหภูมิของก๊าสที่สภาพที่ 1, 2 (องศาเคลวิน)

และเนื่องจากความดันในการทดลองมีค่าคงที่เท่ากับ 1 บรรยากาศ

$$\frac{V_1}{T_1} = \frac{V_2}{T_2}$$

ดังนั้นอัตราการไหลที่อุณหภูมิตามต้องการ (A_2)

$$A_2 = \frac{A_1 \times T_2}{T_1} \text{ ลูกบาศก์เซนติเมตร/ชั่วโมง}$$

ตัวอย่างการคำนวณ

ที่อุณหภูมิ 280 องศาเซลเซียส ความเร็วเชิงสเปช 10,000 ต่อชั่วโมง และความสูงของชั้นตัวเร่งปฏิกิริยาเท่ากับ 1.6 เซนติเมตร

$$\begin{aligned} \text{ปริมาตรของตัวเร่งปฏิกิริยา} &= \pi \times \left(\frac{0.6}{2}\right)^2 \times 1.6 \\ &= 0.453 \text{ ลูกบาศก์เซนติเมตร} \\ \text{อัตราการไหลที่ S.T.P} &= 0.453 \times 10,000 \\ &= 4,530 \text{ ลูกบาศก์เซนติเมตร/ชั่วโมง} \\ \text{อัตราการไหลที่อุณหภูมิ } 280- &= \frac{4,530 \times 553}{273} \\ \text{องศาเซลเซียส} &= 9,176.15 \text{ ลูกบาศก์เซนติเมตร/ชั่วโมง} \\ &= 152.94 \text{ ลูกบาศก์เซนติเมตร/นาที} \end{aligned}$$

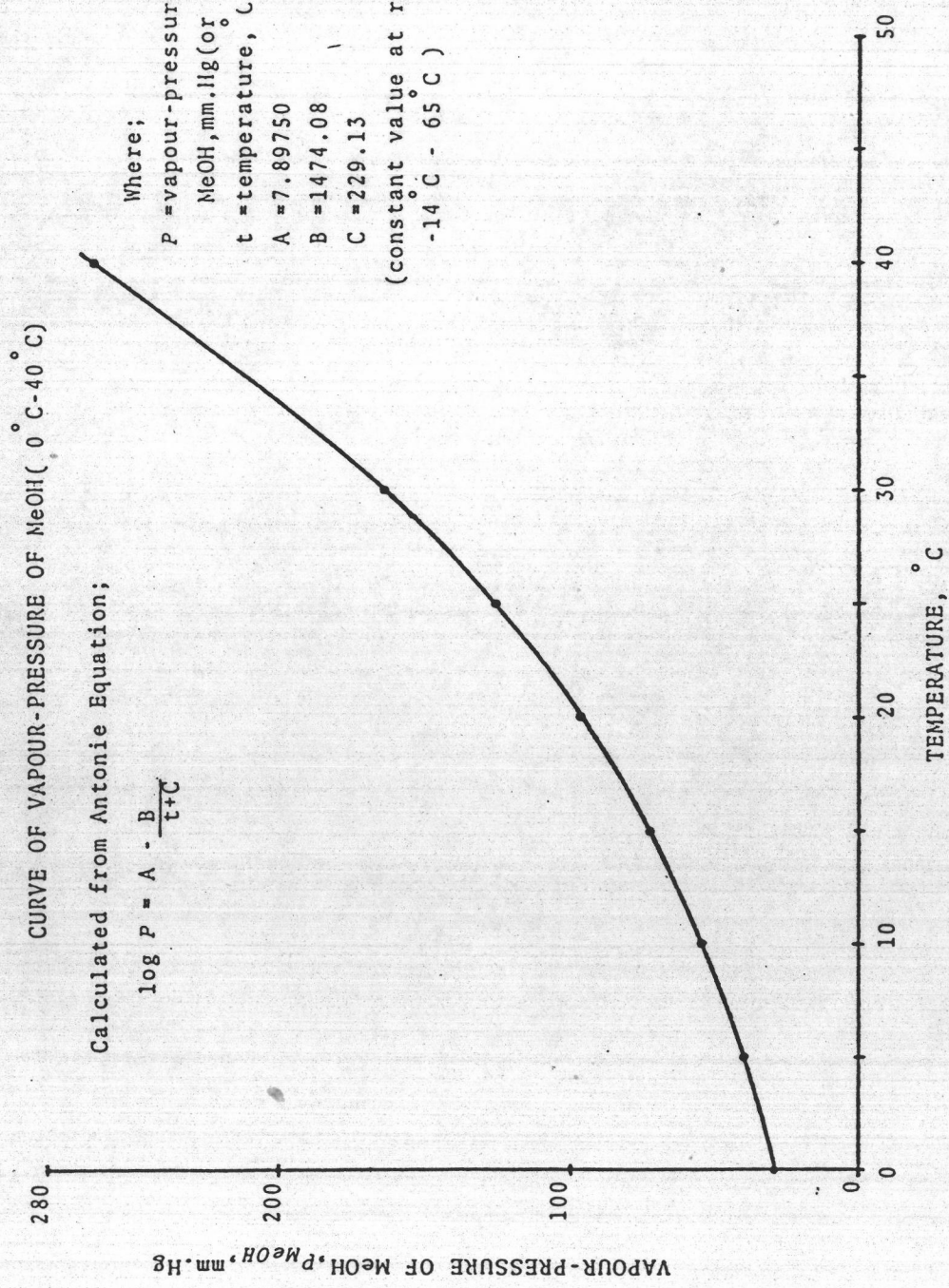
ในตารางที่ 1 ก แสดงค่าอัตราการไหลของก๊าซเข้า เครื่องปฏิกรณ์ในการทดลองที่อุณหภูมิ

280, 320 และ 360 องศาเซลเซียส

ตารางที่ 1 ก อัตราการไหลของก้าชเข้าที่อุณหภูมิและความเร็วเชิงสเปชล่าง ๆ กัน

อุณหภูมิ (องศาเซลเซียส)	ความเร็วเชิงสเปช (ต่อชั่วโมง)	อัตราการไหลของก้าชเข้า (ลูกบาศก์/เซนติเมตร/นาที)
280	2,000	30.480
	5,000	71.340
	10,000	152.940
	15,000	229.450
	17,000	257.787
	20,000	305.770
320	5,000	81.63
	15,000	245.15
	17,000	276.50
	20,000	329.67
	30,000	504.20
360	5,000	82.82
	10,000	106.44
	15,000	244.39
	17,000	279.72
	20,000	330.58
	30,000	485.89
	40,000	656.99

อก กราฟความดันไอของ เมทานอลในช่วงอุณหภูมิ -14 ถึง 65 องศาเซลเซียส (4)



รูปที่ อก กราฟความดันไอของ เมทานอลในช่วงอุณหภูมิ -14 ถึง 65 องศาเซลเซียส

4ก การคำนวณน้ำหนักของคาร์บอนในเมทานอลที่เข้าเครื่องปฏิกรณ์

โดยการสมมุติให้เมทานอลเป็นก๊าซในอุดมคติ ดังนั้นที่ STP เมทานอล 1 ไมล จะมีปริมาตรเท่ากับ $22.4 \text{ ลิตร } (22.4 \times 10^3 \text{ ลูกบาศก์เซนติเมตร})$

$$\begin{aligned} \text{จำนวนโมลของเมทานอลที่เข้าเครื่องปฏิกรณ์} &= \frac{\text{อัตราการไหลที่ STP} \times 0.2}{22.4 \times 10^3} \text{ ไมล/ชั่วโมง} \\ &= Z \text{ ไมล/ชั่วโมง} \end{aligned}$$

โดยที่ร้อยละของปริมาตรเมทานอลที่เข้าเครื่องปฏิกรณ์เท่ากับ 20 % และในเมทานอล 1 ไมล ประกอบด้วยคาร์บอน 1 ไมล ดังนั้น

$$\begin{aligned} \text{จำนวนคาร์บอนที่เข้าเครื่องปฏิกรณ์} &= Z \text{ ไมล/ชั่วโมง} \\ &= Z \times 12 \text{ กรัม/ชั่วโมง} \end{aligned}$$

ตัวอย่างการคำนวณ

ที่อุณหภูมิ 280 องศาเซลเซียส ความเร็วเชิงสเปช 10,000 ต่อชั่วโมง

$$\begin{aligned} \text{จำนวนโมลของเมทานอลที่เข้าเครื่องปฏิกรณ์} &= \frac{4,530 \times 0.2}{22.4 \times 10^3} \\ &= 0.04045 \text{ ไมล/ชั่วโมง} \\ &= 0.00067 \text{ ไมล/นาที} \\ \text{น้ำหนักเมทานอลที่เข้าเครื่องปฏิกรณ์} &= 0.008056 \text{ กรัมคาร์บอน/นาที} \end{aligned}$$

ในตารางที่ 2ก แสดงถึงผลการคำนวณน้ำหนักคาร์บอนที่เข้าเครื่องปฏิกรณ์ที่ใช้ในการทดลอง

ตารางที่ 2ก น้ำหนักคาร์บอนในเมทานอลที่เข้าเครื่องปฏิกรณ์ที่ความเร็วเชิงสเปชและอุณหภูมิต่าง ๆ ที่ใช้ในการทดลอง

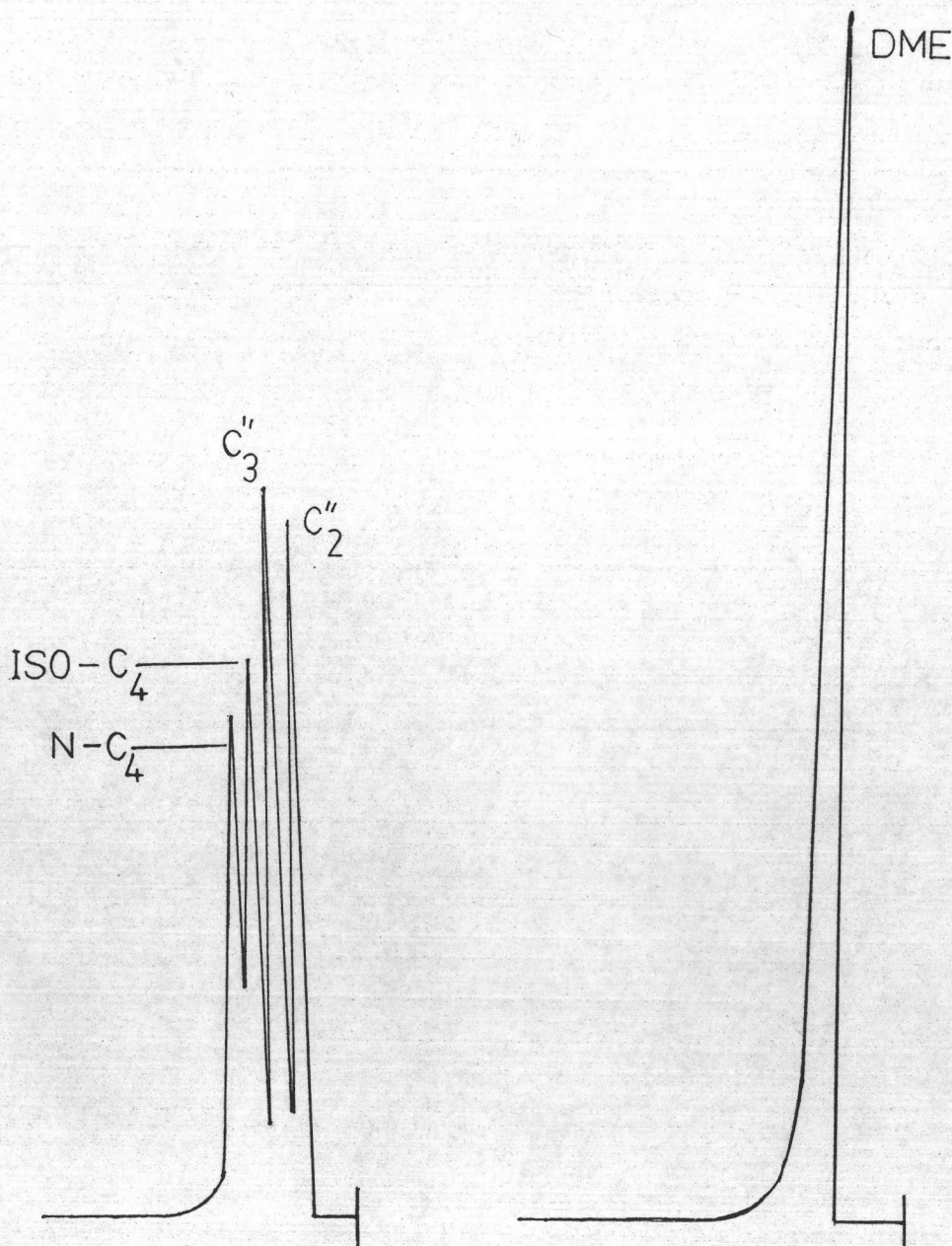
อุณหภูมิ (องศาเซลเซียส)	ความเร็วเชิงสเปช (ต่อชั่วโมง)	น้ำหนักคาร์บอนที่เข้าเครื่องปฏิกรณ์ (กรัม/นาที)
280	2,000	0.001618
	5,000	0.004038
	10,000	0.008056
	15,000	0.012132
	17,000	0.013632
	20,000	0.016080
320	5,000	0.004030
	15,000	0.012096
	17,000	0.013704
	20,000	0.017838
	30,000	0.024840
360	5,000	0.003825
	10,000	0.005100
	15,000	0.011293
	17,000	0.012924
	20,000	0.015192
	30,000	0.022452
	40,000	0.030360

ภาคผนวก ช

1x โคมไฟแกร์ดของการวิเคราะห์ผลิตภัณฑ์สารไฮโดรคาร์บอน

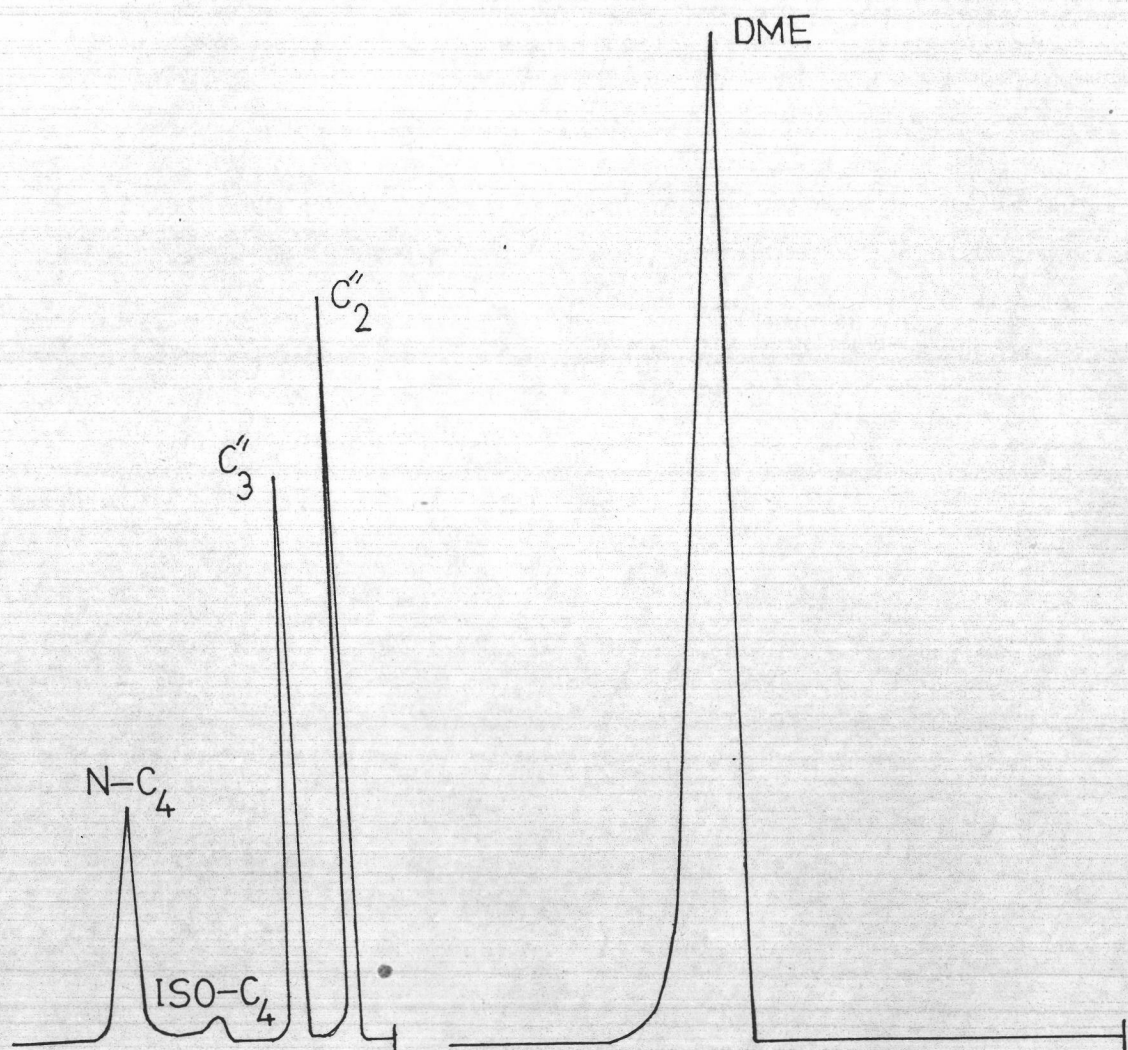
รูปที่ 1x โคมไฟแกร์ดของการวิเคราะห์ผลิตภัณฑ์ของเครื่อง

ก๊าซโคมไฟกราฟฟี COW MAC รุ่น Series 750



Column 1/8" x 1.1 m (ss) DC-220 on Chromosorb-P (80/100)

รูปที่ 2x กรรมการวิเคราะห์ผลิตภัณฑ์ของเครื่องก๊าซไฮดรอกซิฟิวชัน รุ่น Series 150



Column 1/8" x 3m (ss) Parapak Q (80/100)

จากรูปที่ 1x สามารถหาปริมาณน้ำหนักคาร์บอนในสารอีทินต่อหน่วยพื้นที่ได้ดังนี้

$$6.43 \times 10^{-8} \text{ กรัมคาร์บอนในอีทิน/พื้นที่ได้พื้น}$$

2x ตัวอย่างการคำนวณร้อยละของน้ำหนักค่าร์บอนในผลิตภัณฑ์

ที่อยู่หุบยิ 280 องศาเซลเซียส ความเร็วเชิงสเปชเท่ากับ 10,000 พื้นที่ได้พื้นของ อีทินมีค่าเท่ากับ 14.5 หน่วย/ปริมาตรก๊าซออก 2 ลูกบาศก์เซนติเมตร ดังนี้

$$\text{ปริมาณน้ำหนักคาร์บอนในอีทินที่ออกมา} = \frac{1}{2} \times 14.5 \times (\text{อัตราการไหลของก๊าซที่ออก}) \times$$

$$(\text{n้ำหนักคาร์บอนในสารอีทินต่อพื้นที่ได้พื้น}) \text{ กรัม/นาที}$$

$$= \frac{1}{2} \times 14.5 \times 157.085 \times (6.43 \times 10^{-8}) \text{ กรัม/นาที}$$

$$= 7.324 \times 10^{-5} \text{ กรัม/นาที}$$

คำนวณน้ำหนักคาร์บอนในสารไฮไครคาร์บอนอื่น ๆ โดยการเปรียบเทียบพื้นที่ได้พื้น

กับของอีทิน

$$\text{น้ำหนักคาร์บอนในโพธิน} = \frac{4 \times 7.324 \times 10^{-5}}{14.5} \text{ กรัม/นาที}$$

(พื้นที่ได้พื้นเท่ากับ 4 หน่วย)

$$= 2.01 \times 10^{-5} \text{ กรัม/นาที}$$

$$\text{น้ำหนักคาร์บอนในบิวทิน} = \frac{149.26 \times 7.324 \times 10^{-5}}{14.5} \text{ กรัม/นาที}$$

(พื้นที่ได้พื้นเท่ากับ 149.26 หน่วย)

$$= 7.54 \times 10^{-4} \text{ กรัม/นาที}$$

$$\text{ดังนั้นน้ำหนักคาร์บอนในสารไอโอลิฟ} = (7.54 \times 10^{-4}) + (2.01 \times 10^{-5}) +$$

$$(7.324 \times 10^{-5}) \text{ กรัม/นาที}$$

$$= 8.47 \times 10^{-4} \text{ กรัม/นาที}$$

เนื่องจากคาร์บอนในเมทานอลที่เข้าเครื่องปฏิกรณ์ในสภาวะนี้มีค่าเท่ากับ

$$8.056 \times 10^{-3} \text{ กรัม (คุณภาพที่ 2g)} \text{ และสมมุติว่าไม่มีการสูญเสียและการสะสมของสาร}$$

ไฮไครคาร์บอนในเครื่องปฏิกรณ์ดังนี้

$$\text{น้ำหนักคาร์บอนที่ออก} = \text{น้ำหนักของคาร์บอนที่เข้า}$$

$$\text{น้ำหนักคาร์บอนในสารออกซิเจน} = 8.056 \times 10^{-3} \text{ กรัม/นาที}$$

+ สารไอโอลิฟ + สารพาราฟินและ

สารอิมิดิก

ในกรณีไม่มีการเกิดของสารพาราฟินและสารอิโรมาติก ตั้งในรูปที่ ๓ข และ ๔ ข ดังนั้น

$$\begin{aligned} \text{น้ำหนักคาร์บอนในสารออกซิเจน} &= (8.056 \times 10^{-3}) - \text{น้ำหนักคาร์บอนในสารไอโอลิน} \quad \text{กรัม/นาที} \\ &= (8.056 \times 10^{-3}) - (8.47 \times 10^{-4}) \quad \text{กรัม/นาที} \\ &= 7.209 \times 10^{-3} \quad \text{กรัม/นาที} \end{aligned}$$

ผลสัมฤทธิ์ของการคำนวณทางอัตราส่วนของน้ำหนักคาร์บอนในสารไอโอลินชนิดต่าง ๆ

ต่อไปน้ำหนักคาร์บอนในเมทานอลที่เข้าเครื่องปฏิกรณ์ ในที่นี้

$$\frac{\text{อัตราส่วนของน้ำหนักคาร์บอนใน}}{\text{สารออกซิเจน / น้ำหนักคาร์บอน}} = \frac{7.209 \times 10^{-3}}{8.056 \times 10^{-3}}$$

ใน เมทานอล

$$= 0.8947$$

$$\frac{\text{อัตราส่วนของน้ำหนักคาร์บอนใน}}{\text{สารไอโอลิน / น้ำหนักคาร์บอน}} = \frac{8.47 \times 10^{-4}}{8.056 \times 10^{-3}}$$

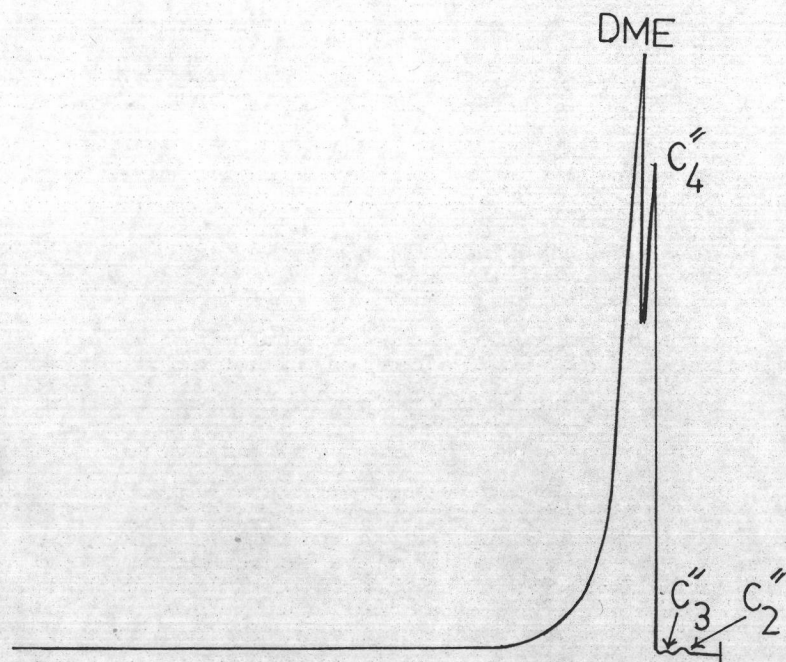
ใน เมทานอล

$$= 0.1053$$

ในกรณีที่มีการเกิดสารพาราฟินและสารอิโรมาติกสามารถคำนวณได้โดยการเปรียบเทียบ

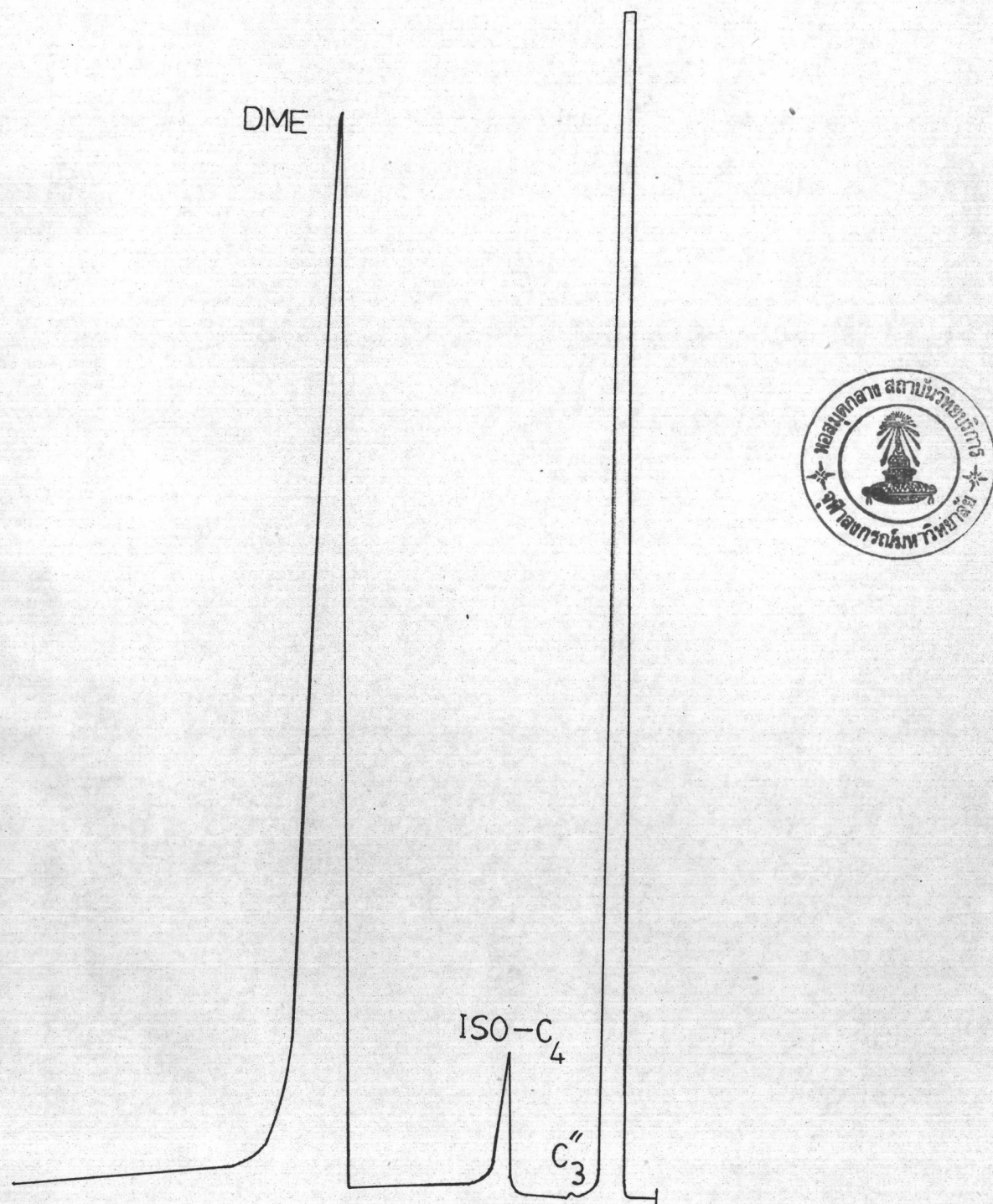
พื้นที่ได้พิคได้ เช่นกัน

รูปที่ ๓ข ไครโนไซด์แกรมการวิเคราะห์ผลิตภัณฑ์ของเครื่องก๊าซไครโนไซด์กราฟฟิ GOW MAC
รุ่น Series 750 สำหรับการทดลองที่ความเร็วเชิงสเปช 10,000 ต่อชั่วโมง และ^๑
อุณหภูมิ 280 องศาเซลเซียส



Column 1/8" x 1.1 m (ss) DC-220 on Chromosorb-P (80/100)

รูปที่ 4x โคมากิดแกรมการวิเคราะห์ผลิตภัณฑ์ของเครื่องก๊าซโคมากิดกราฟฟิ Gow MAC
รุ่น Series 150 สำหรับการทดลองที่ความเร็วเชิงสเปช 10,000 ต่อชั่วโมง
และอุณหภูมิ 280 องศาเซลเซียส



Column 1/8" x 3m (ss) Parapak Q (80/100)

ภาคผนวก C

๑ค การใช้วิธีก้าลังสองน้อยที่สุดในการหาสมการเส้นตรงโดยแบบเส้นตรงสำหรับตัวแปรอิสระหนึ่งตัว而已 (19.20)

วิธีก้าลังสองน้อยที่สุด เป็นการหาสมการที่เหมาะสมกับข้อมูล โดยท่าให้ผลรวมของก้าลังของความคลาดเคลื่อน (ϕ) ระหว่างค่าที่ได้จากการทดลองกับค่าที่ประมาณจากสมการที่กำหนดขึ้นมีค่าน้อยที่สุด

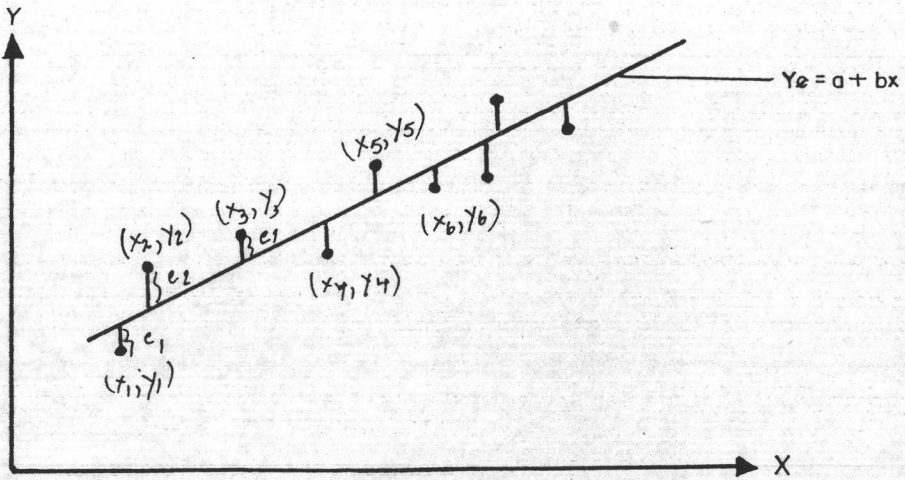
ถ้าให้ (X_i, Y_i) เป็นค่าของข้อมูล กฎและมีความสัมพันธ์ เป็นเส้นตรง ดังนั้นสมการที่ต้องการคือ

$$\begin{aligned}\hat{Y}_i &= a + b X_i \\ e_i &= Y_i - \hat{Y}_i \\ \text{โดยที่ } \hat{Y}_i &= \text{ค่าตัวแปรตามที่ประมาณจากสมการของข้อมูลที่ } i \\ Y_i &= \text{ค่าตัวแปรตามที่ได้จากการทดลองครุที่ } i \\ e_i &= \text{ค่าความคลาดเคลื่อนของข้อมูลจากการทดลองกับค่าที่ได้จากการประมาณ} \\ X_i &= \text{ค่าตัวแปรอิสระของข้อมูลครุที่ } i \\ a, b &= \text{ค่าคงที่}\end{aligned}$$

โดยวิธีก้าลังสองน้อยที่สุดจะต้องหาค่าคงที่ a และ b ที่ทำให้

$$\phi = \sum_{i=1}^n e_i^2 = \sum_{i=1}^n (Y_i - \hat{Y}_i)^2 \text{ มีค่าน้อยที่สุด}$$

ที่ต้องใช้ค่าของ e_i^2 เพราะว่าค่า e_i บางค่าเป็นบวก บางค่าเป็นลบและบางค่าเป็นศูนย์ (ดูในรูปที่ ๑ค) ซึ่งถ้าเอามารวมกับค่า $\sum e_i$ ก็จะหักล้างกันไป ทำให้ค่าผลรวมเป็นศูนย์



รูปที่ 1ค แสดงความคลาดเคลื่อนของค่าแต่ละค่ารอบเส้นที่ประมาณขึ้นมา (๑๙)

เนื่องจาก $\phi = \sum_{i=1}^n (y_i - \hat{y}_i)^2 = \sum_{i=1}^n (y_i - a - b x_i)^2$

ตั้งนิยมสามารถหาค่าของ a และ b โดยอาศัยวิธีการทางแคลคูลัส ท่าให้ค่า ϕ

มีค่าน้อยที่สุดคือ

$$\begin{aligned}\frac{\partial \phi}{\partial a} &= 2 \sum_{i=1}^n (y_i - a - b x_i) (-1) = 0 \\ \frac{\partial \phi}{\partial b} &= 2 \sum_{i=1}^n (y_i - a - b x_i) (-x_i) = 0\end{aligned}$$

จะได้

$$b = \frac{\sum x_i y_i - \bar{x} \sum y_i}{\sum x_i^2 - \bar{x} \sum x_i}$$

$$a = \bar{y} - b \bar{x}$$

$$\begin{array}{l} \text{โดยที่} \quad \bar{x} = \frac{\sum x}{n} \\ \quad \quad \quad \bar{y} = \frac{\sum y}{n} \end{array}$$

ถ้าค่าของ y แต่ละค่าที่เก็บรวบรวมได้แตกต่างไปจากนั้น เส้นทดถอยที่ประมาณขึ้นมาหาก การประมาณค่าของ y โดยอาศัยเส้นทดถอยเส้นนี้ก็จะไม่ดีเท่าที่ควร และในทางตรงข้ามถ้าค่าที่เก็บรวบรวมมาได้แต่ละค่าอยู่ใกล้ ๆ หรืออยู่บนเส้นทดถอยพอตี การประมาณค่าโดยอาศัยเส้นทดถอยนี้ก็จะให้ความเชื่อถือได้มากขึ้น มาตรการที่ใช้วัดการกระจายของข้อมูลรอบเส้นทดถอยนี้เรียกว่า ความคลาดเคลื่อนในการประมาณค่า (standard error of estimate) ซึ่งก็คล้าย ๆ กับการที่ใช้ส่วนเบี่ยงเบนมาตรฐานเพื่อวัดการกระจายของค่าที่เก็บรวบรวมได้จากเฉลี่ย ความคลาดเคลื่อนในการประมาณค่าของประชากรที่อาจประมาณได้จากผลการทดลองคือ

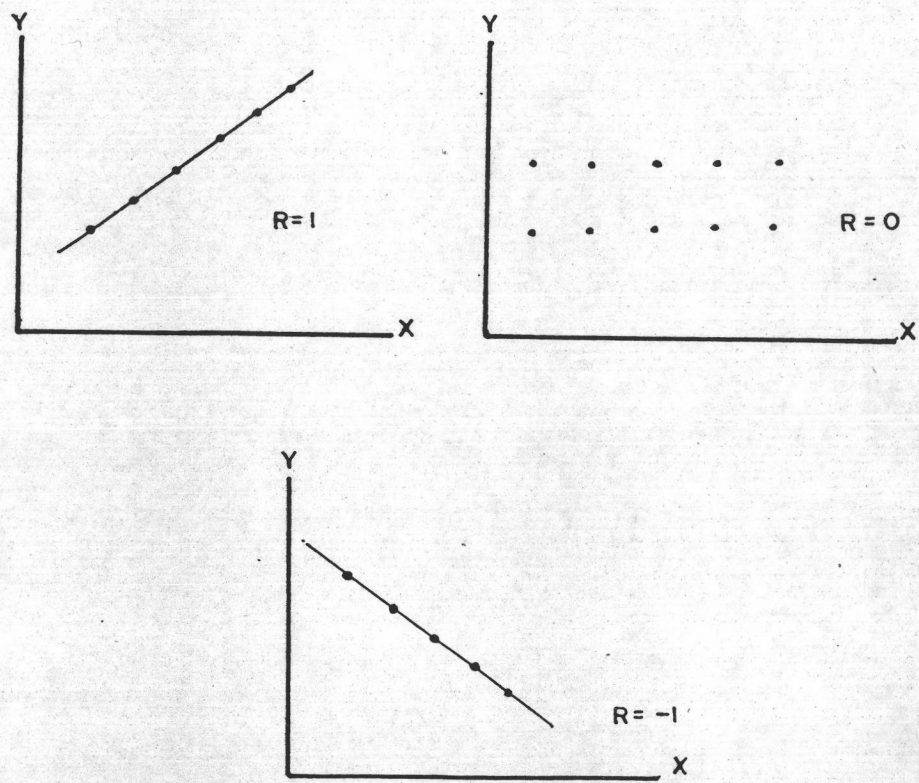
$$s_{y,x} = \sqrt{\frac{\sum (y_i - \hat{y}_i)^2}{n-k}}$$

โดยที่ n = จำนวนคู่ของข้อมูลในตัวอย่าง

k = จำนวนตัวคงที่ในสมการเส้นทดถอย

และสามารถหาความสัมพันธ์ระหว่าง x_i กับ y_i จากสมบัติของการตัดสินใจ (Coefficient of determination) ใช้สัญลักษณ์ r^2

$$r^2 = 1 - \frac{\sum (y_i - \hat{y}_i)^2}{\sum (y_i - \bar{y})^2}$$



รูปที่ 2ค แผนภาพแสดงความสัมพันธ์ระหว่าง X กับ Y (19)

2ค โปรแกรมคอมพิวเตอร์การวิเคราะห์สมการเส้น直ถดโดยแบบเส้นตรง

```

1      CLS
10     PRINT "-----"
11     PRINT "I           LINEAR REGRESSION ANALYSIS"
12     PRINT "-----"
: PRINT
13     PRINT "ENTER REGRESSION TITLE : " : PRINT
20     REM FAMILY REGRESSION
21     INPUT TITLE$
22     LPRINT TITLE$
23     LPRINT
24     LPRINT
30     SX=0: SY=0: S1=0: S2=0: S3=0: S4=0
40     S5=0: S6=0: S7=0: S8=0: S9=0
50     T1=0: T2=0: T3=0: T4=0: T5=0: T6=0: T7=0
60     T8=0: T9=0: U1=0: N=0
80     PRINT : PRINT "ENTER DATA (TO END, ENTER -999,0)"
90     PRINT: PRINT
100    PRINT "X,Y";
110    INPUT X,Y
111    LPRINT X,Y
120    IF X = -999 GOTO 360
130    SX = SX+X
140    SY = SY+Y
150    S1 = S1+X**X
160    S2 = S2+Y**Y
170    S3 = S3+X*Y
180    S4 = S4+X***X
190    S5 = S5+X***X
340    N = N+1
350    GOTO 100
360    REM END OF DATA INPUT
370    REM ADD OR DELETE DATA
380    PRINT: PRINT
390    PRINT "ADD OR DELETE DATA (A or D or N)"
400    INPUT A$
410    IF A$ = "A" GOTO 100
420    IF A$ = "D" GOTO 510
430    IF A$ = "N" GOTO 771
510    REM DELETE DATA
520    PRINT "X,Y";
530    INPUT X,Y
540    SX = SX-X
550    SY = SY-Y
560    S1 = S1-X**X
570    S2 = S2-Y**Y
580    S3 = S3-X*Y
590    S4 = S4-X***X
600    S5 = S5-X***X

```

```

750 N = N-1
760 GOTO 370
771 PRINT "N = ";N
772 PRINT "X VARIABLE"
773 PRINT " MEAN = ";SX/N:LPRINT:LPRINT
774 PRINT: LPRINT "X MEAN = ";SX/N
775 PRINT "Y VARIABLE"
776 PRINT " MEAN = ";SY/N : PRINT:PRINT:PRINT
777 LPRINT "Y MEAN = ";SY/N :LPRINT:LPRINT
1000 CLS: PRINT "Linear Model" :PRINT
1001 PRINT "EQUATION : Y = a+bx" : PRINT
1003 LPRINT " LINEAR MODEL":LPRINT
1004 LPRINT " EQUATION : Y = A + BX " :LPRINT
1010 F1 = S3-(SX*SY/N)
1020 F2 = S1-(SX*SX/N)
1030 B1 = F1/F2
1040 A1 = (SY/N)-B1*(SX/N)
1041 PRINT "Coefficients"
1042 LPRINT "COEFFICIENTS"
1043 LPRINT "A = ";A1
1044 LPRINT "B = ";B1
1050 PRINT "A = "; A1
1060 PRINT "B = "; B1
1070 Q1 = S2-(SY*SY/N)
1080 F3 = (S3-(SX*SY/N))^2
1090 F4 = S1-(SX*SX/N)
1100 Q2 = F3/F4
1110 Q3 = Q1-Q2
1120 PRINT: PRINT "Sum of Squares"
1121 LPRINT: LPRINT "SUM OF SQUARES"
1130 PRINT "Total = "; Q1
1140 PRINT "Regression = "; Q2
1150 PRINT "Residual = "; Q3
1152 LPRINT "TOTAL = ";Q1
1153 LPRINT "REGRESSION = ";Q2
1154 LPRINT "RESIDUAL = ";Q3
1160 Q4 = Q3/(N-2)
1170 PRINT: PRINT "Mean Squares"
1180 PRINT "Regression = "; Q2
1190 PRINT "Residual = "; Q4 :PRINT
1200 PRINT "Standard Error of Estimate = ";SQR(Q4)
1201 LPRINT:LPRINT "MEAN SQUARES" :LPRINT
1202 LPRINT "REGRESSION = ";Q2
1203 LPRINT "RESIDUAL = ";Q4:LPRINT
1204 LPRINT "STANDARD ERROR OF ESTIMATE = ";SQR(Q4)
1210 F5 = (S3-(SX*SY/N))^2
1220 F6 = (S1-(SX*SX/N))*(S2-(SY*SY/N))
1230 R1 = F5/F6
1240 R2 = Q2/Q4
1250 PRINT: PRINT "Coefficient of Determination (r^2) = ";R1
: PRINT
1251 LPRINT:LPRINT "COEFFICIENT OF DETERMINATION (R^2) = ";R1
: LPRINT
1260 PRINT "F Ratio = "; R2
1261 LPRINT "F RATIO = ";R2
1280 END

```

3ค ผลการคำนวณค่าคงที่ที่เหมาะสมในการพิจແນບจำลองตามโปรแกรมคอมพิวเตอร์

อุณหภูมิ 280 องศาเซลเซียส

Fitting data at 280°C R=0.97

.00005	0
.000059	.1361
.000067	.4338
.0001	.4843
.0002	.9409
.0005	1.0614
-999	0

X MEAN = 1.626667E-04
Y MEAN = .5094167

LINEAR MODEL

EQUATION : Y = A + BX

COEFFICIENTS

A = .1800097
B = 2025.043

SUM OF SQUARES

TOTAL = .896083
REGRESSION = .6221211
RESIDUAL = .273962

MEAN SQUARES

REGRESSION = .6221211
RESIDUAL = 6.849049E-02

STANDARD ERROR OF ESTIMATE = .2617069

COEFFICIENT OF DETERMINATION (R^2) = .6942671

F RATIO = 9.083319

อุณหภูมิ 320 องศาเซลเซียส

Fitting data at 320°C R=0.95

.0000033	.1675
.00005	.3244
.000059	.5443
.000067	.8931
.0002	1.6087
-999	0

X MEAN = .0000818

Y MEAN = .7076

LINEAR MODEL

$$\text{EQUATION : } Y = A + BX$$

COEFFICIENTS

A = .047741

B = 8066.737

SUM OF SQUARES

TOTAL = 1.311609

REGRESSION = 1.177989

RESIDUAL = .1336192

MEAN SQUARES

REGRESSION = 1.177989

RESIDUAL = 4.453973E-02

STANDARD ERROR OF ESTIMATE = .2110444

COEFFICIENT OF DETERMINATION (R^2) = .8981257

F RATIO = 26.44806

อุณหภูมิ 360 องศาเซลเซียส

Fitting data at 360°C R=0.142

.000025	.3435
.000033	.9204
.00005	1.2024
.000059	1.5617
.000067	1.9444
.0001	3.1798
-999	0

X MEAN = 5.566667E-05
Y MEAN = 1.525367

LINEAR MODEL

EQUATION : Y = A + BX

COEFFICIENTS

A = -.4897207
B = 36199.18

SUM OF SQUARES

TOTAL = 4.78116
REGRESSION = 4.706015
RESIDUAL = 7.514477E-02

MEAN SQUARES

REGRESSION = 4.706015
RESIDUAL = 1.878619E-02

STANDARD ERROR OF ESTIMATE = .1370627

COEFFICIENT OF DETERMINATION (R^2) = .9842832

F RATIO = 250.5039

4ค ค่าคงที่สมการอาลีเนียสสำหรับค่าคงที่ k_2 ที่คำนวณได้ตามโปรแกรมคอมพิวเตอร์

Fitting Arrhenius's Eqn. for k_2

.001579	10.36401
.001686	8.32767
.001808	6.93698
-999	0

X MEAN = .001691
Y MEAN = 8.542887

LINEAR MODEL

EQUATION : $Y = A + BX$

COEFFICIENTS
A = 33.70771
B = -14881.62

SUM OF SQUARES
TOTAL = 5.941727
REGRESSION = 5.815374
RESIDUAL = .1263533

MEAN SQUARES

REGRESSION = 5.815374
RESIDUAL = .1263533

STANDARD ERROR OF ESTIMATE = .3554621

COEFFICIENT OF DETERMINATION (R^2) = .9787346

F RATIO = 46.02472



ภาคผนวก ง

การคำนวณค่าอัตราการเปลี่ยนของสารออกซิเจนเดตที่เวลาต่าง ๆ ที่อุณหภูมิ 360

องศาเซลเซียส

การคำนวณค่าอัตราการเปลี่ยนของสารออกซิเจนเดตนี้สามารถคำนวณได้ 2 วิธี คือ

1. จากความชันของกราฟของเวลาสัมผัสนับสารออกซิเจนเดตที่เหลือ

2. จากแบบจำลองทางจลนพลศาสตร์ของการเปลี่ยนสารเมทานอล ดังในสมการ

ที่ 5.4 ด้าน

$$\begin{aligned} -\frac{dA}{dt} &= k_1 A + k_2 AB \\ &= k_2 (RA + AB) \end{aligned}$$

ตัวอย่างการคำนวณที่เวลาสัมผัสน 0.000025 ชั่วโมง

1. จากกราฟความสัมพันธ์ระหว่างสารออกซิเจนเดตที่เหลือกับเวลาสัมผัส ดังในรูปที่ 1 ง

ถ้าหากเส้นสัมผัสราฟที่เวลาสัมผัสน 0.000025 ชั่วโมง ชี้ทางความชันได้ดังต่อไปนี้

$$\text{ความชัน} = \frac{0.9 - 1.0}{0.000029 - 0.000012}$$

$$= -5882.35$$

$$-\frac{dA}{dt} = -\text{ความชัน} = 5882.35$$

2. ที่อุณหภูมิ 360 องศาเซลเซียสและเวลาสัมผัสเท่ากับ 0.000025 ชั่วโมง นั้นจะได้

$$A = 0.9515$$

$$B = 0.0485$$

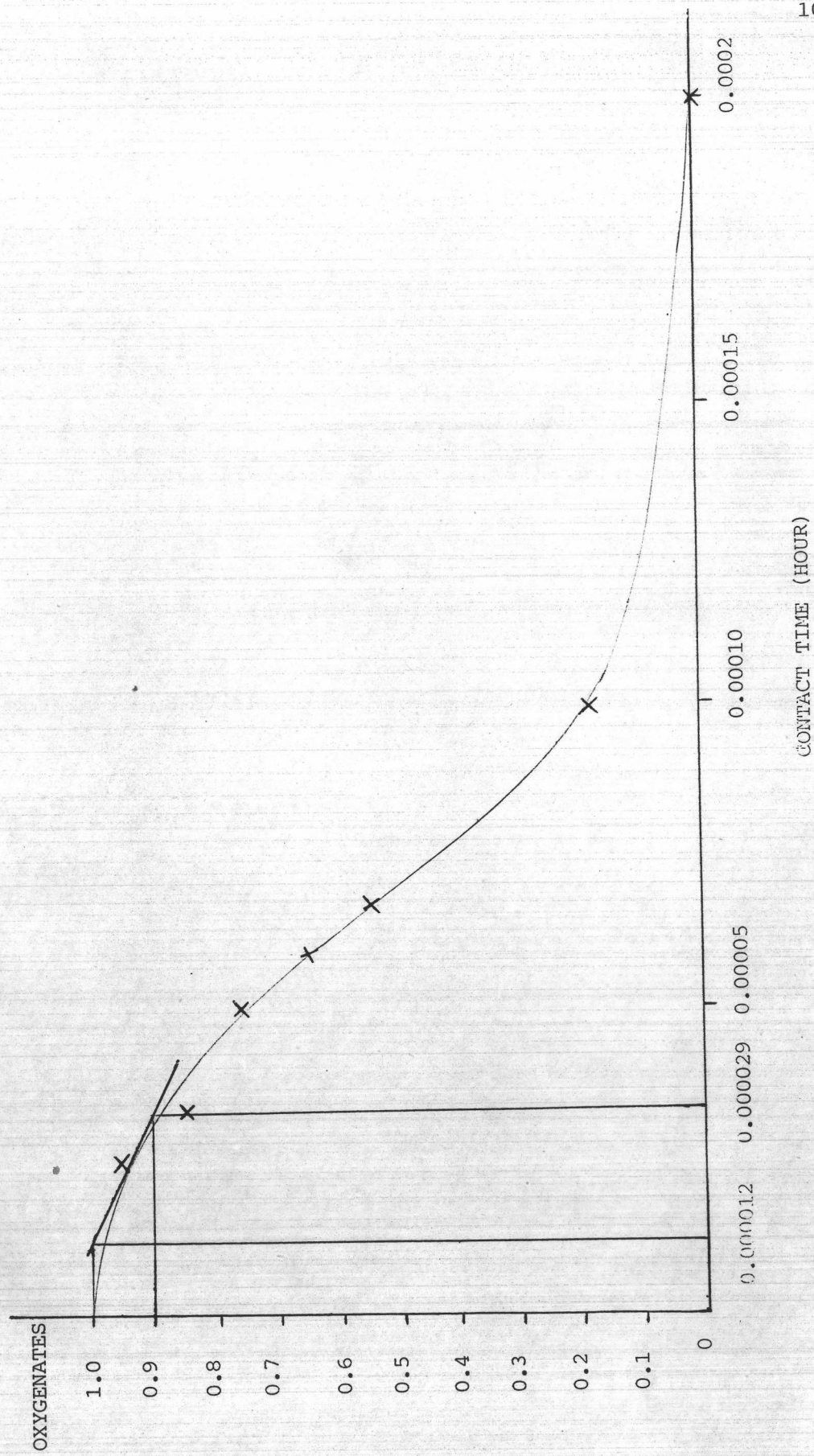
$$k_2 = 31698.06$$

$$R = 0.142$$

ดังนั้น

$$\begin{aligned} -\frac{dA}{dt} &= 31698.06(0.142 \times 0.9515 + 0.9515 \times 0.0485) \\ &= 5745.61 \end{aligned}$$

สำหรับตารางที่ 1 ง เป็นผลการคำนวณค่าอัตราการเปลี่ยนของสารออกซิเจนตี่เวลา
สัมผัสต่าง ๆ ที่อุณหภูมิ 360 องศาเซลเซียส และในท่านองเดียวกันที่อุณหภูมิ 280 และ 320
องศาเซลเซียส สามารถหาได้โดยวิธีเดียวกัน



รูปที่ 1 ง กราฟความสัมพันธ์ระหว่างสารออกซิเจนที่เหลือกับเวลาสัมผัสด้วยหกมิ 360 องศาเซลเซียส

ตารางที่ 1ง ค่า $-\frac{dA}{dt}$ ที่ได้จากการคำนวณโดยกราฟและแบบจำลองทางจุลพัฒนาศาสตร์

เวลาสัมผัส (ชั่วโมง)	ค่าที่ได้จากการ คำนวณโดยกราฟ	ค่าที่ได้จากการ แบบจำลอง
0.000025	5,882.35	5,745.61
0.000033	7,600.00	8,008.64
0.000050	9,500.00	8,519.21
0.000067	13,000.00	9,164.46

ประวัติผู้เขียน

นาย สุชาติ ไตรบารุงสุข เกิดเมื่อวันที่ 31 ธันวาคม พ.ศ. 2502 ที่กรุงเทพ-
มหานคร ได้รับปริญญาวิศวกรรมศาสตร์บัณฑิต สาขาวิศวกรรมเคมี จากคณะกรรมการศาสตร์
จุฬาลงกรณ์มหาวิทยาลัย เมื่อปีการศึกษา พ.ศ. 2524 ปัจจุบันทำงานในตำแหน่งนักวิชาการ
ประจำสาขาวิชยอุดสาหกรรมโลหะและเซรามิกส์ สถาบันวิจัยวิทยาศาสตร์และเทคโนโลยีแห่ง
ประเทศไทย

